

Письма в ЖТФ, том 17, вып. 4

26 февраля 1991 г.

06.2

© 1991

НОРМАЛЬНО ЗАКРЫТЫЙ SiC (6Н)
ПОЛЕВОЙ ТРАНЗИСТОР С р-п-ЗАТВОРОМ

В.А. Дмитриев, П.А. Иванов,
В.Е. Челноков, А.Е. Черенков

1. Для создания полупроводниковых интегральных схем (ИС), стойких к действию высоких температур и ионизирующих излучений, необходимо развитие элементной базы ИС на основе широкозонных полупроводников. В настоящее время исследуются возможности создания функциональных элементов ИС на основе карбида кремния полупроводника с шириной запрещенной зоны, изменяющейся от 2.4 эВ для кубического политипа 3С до 3.4 эВ для гексагонального политипа 2Н.

Для реализации базовых схем логических элементов цифровых ИС необходимы нормально закрытые транзисторы: полевые, работающие с обогащением канала носителями тока, или биполярные. По таким приборам на основе SiC существуют единичные публикации - это SiC (3С) МОП-транзисторы с индуцированным п-каналом [1, 2] и SiC (6Н) биполярный п-р-п транзистор [3]. Электрические параметры приборов этого типа определяются свойствами неосновных носителей заряда.

В настоящей работе сообщается о создании нормально закрытого SiC (6Н) транзистора, который работает на основных носителях; это п-канальный полевой транзистор с затвором в виде р-п-перехода.

2. В нормально закрытом полевом транзисторе с управляющим р-п-переходом проводящий канал толщиной α должен быть перекрыт областью пространственного заряда (ОПЗ) перехода при его нулевом смещении h_0 , т.е. $\alpha \leq h_0$. В этом случае пороговое напряжение затвора $V_T = V_{GS}(\alpha = h_0)$ имеет небольшую положительную

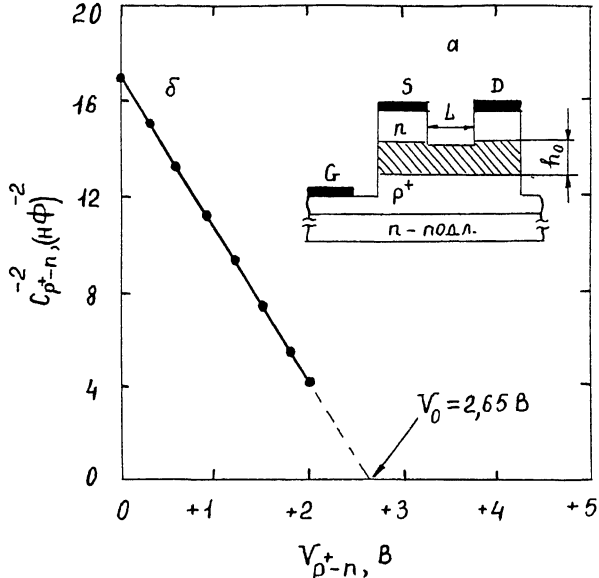


Рис. 1. а) Схематическое сечение структуры транзистора: заштрихована ОПЗ p^+ -п-перехода при нулевом смещении затвора и стока.
б) Вольт-фарадная характеристика p^+ -п-перехода, частота измерений 1 КГц.

величину. Если $V_{GS} > V_T$, то канал открывается для протекания тока от истока к стоку за счет уменьшения толщины ОПЗ p -п-перехода h :

$$\frac{h}{h_0} = \left(1 - \frac{V_{GS}}{V_{Bi}}\right)^{1/2},$$

где V_{Bi} – диффузионная разность потенциалов p -п-перехода. Максимальное положительное напряжение V_{GS}^m , которое можно приложить к затвору, меньше, чем V_{Bi} . Его величина ограничена некоторым допустимым значением прямого тока p -п-перехода, который протекает по цепи затвора.

Характеристика передачи такого транзистора – зависимость насыщенного тока стока I_D^{sat} от напряжения V_{GS} – в приближении „плавного“ канала Шокли описывается выражением [4]:

$$I_D^{sat} = \frac{\mu \epsilon Z}{2 \alpha L} (V_{GS} - V_T)^2, \quad (1)$$

где μ – дрейфовая подвижность электронов; ϵ – диэлектрическая проницаемость полупроводника; Z , α , L – ширина, толщина и длина канала.

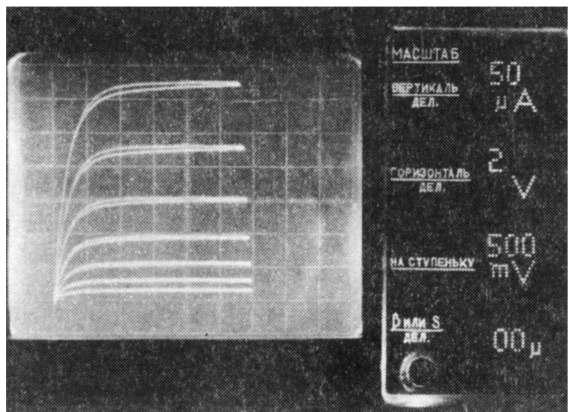


Рис. 2. Выходные характеристики транзистора при комнатной температуре: нижняя кривая — $V_{GS} = 0$ В, верхняя кривая — $V_{GS} = +3$ В.

Анализируя выражение (1), следует отметить, что подвижность электронов в карбиде кремния невысока (например, для SiC (6Н) она составляет $\mu = 100-300 \text{ см}^2/\text{В с}$). Исходя из этого, для увеличения тока стока I_D^{sat} следует сокращать толщину a , т.е. увеличивать концентрацию доноров N в канале:

$$a \approx h_0 = \left(\frac{2\epsilon V_{bi}}{qN} \right)^{1/2},$$

где q — заряд электрона. За счет большой величины критического поля лавинного пробоя E_B (например, для SiC (6Н) $E_B = (3 \div 6) \cdot 10^6 \text{ В/см}$) концентрацию доноров в канале SiC транзистора можно увеличивать до значений $N \sim 10^{18} \text{ см}^{-3}$. Для сравнения: нормально закрытые GaAs ПТШ имеют, как правило, $N \sim 10^{17} \text{ см}^{-3}$. Кроме того, достоинством SiC для нормально закрытого полевого транзистора является большая величина диффузионной разности потенциалов р-п-перехода (для SiC (6Н) $V_{bi} \approx 2.7$ В).

3. Технология и структура изготовленного нами транзистора подобны технологиям и структуре нормально открытого транзистора, который описан в работе [5] (рис. 1, а). Эпитаксиальные слои р⁺- и п-типа выращивались методом бесконтактной жидкостной эпитаксии из расплава кремния на промышленных п- SiC (6Н) подложках, ориентированных по плоскости (0001) [6]. Меза-структура транзистора изготовлена путем реактивного ионно-плазменного травления SiC [7], маскированного алюминиевыми контактами истока, стока и затвора.

Для определения электростатических параметров р⁺-п-структурь (N , V_{bi} , h_0) проводились вольт-фарадные измерения р⁺-п-диода до операции вытравливания канала между истоком и стоком на

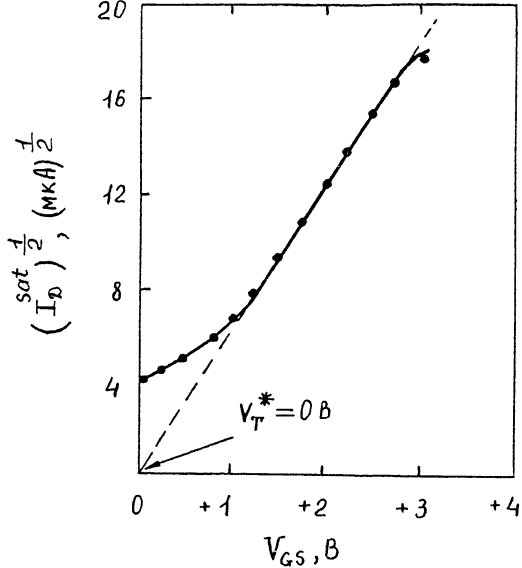


Рис. 3. Характеристика передачи насыщенного тока стока, $V_{DS} = -12 \text{ В}$.

требуемую глубину. Концентрация нескомпенсированных доноров в p -области вблизи перехода была определена из наклона $C_{p+n}^{-2} - V_{p+n}$ характеристики (рис. 1, б). Она распределена равномерно и составляет $N = 8.0 \cdot 10^{17} \text{ см}^{-3}$. Напряжение отсечки $C_{p+n}^{-2} - V_{p+n}$ характеристики, экстраполированное к $C_{p+n}^{-2} = 0$, составляет $V_0 = -2.65 \text{ В}$, что близко к диффузионной разности потенциалов p - n -перехода. Толщина ОПЗ перехода при нулевом смещении, соответствующая этим значениям N и V_0 , равна $h_0 \approx 61 \text{ нм}$.

4. Выходные характеристики транзистора, имеющего ширину канала $Z = 800 \text{ мкм}$ и длину $L = 10 \text{ мкм}$, показаны на рис. 2. Ток стока насыщается при значениях напряжения между стоком и истоком, близких по величине к положительному потенциалу, приложеному к затвору. Характеристика передачи $I_D^{sat} - V_{GS}$ хорошо описывается квадратичной зависимостью тока от напряжения при $V_{GS} > 1 \text{ В}$ (рис. 3). Пороговое напряжение V_T^* , определенное экстраполяцией линейной части характеристики $(I_D^{sat})^{1/2} - V_{GS}$ к $I_D^{sat} = 0$, близко к нулю. Однако при нулевом смещении затвора по каналу протекает ток около 15 мкА , что составляет менее 5% от тока транзистора в открытом состоянии. Это обусловлено, скорее всего, некоторой неоднородностью толщины канала в промежутке между истоком и стоком.

Из рис. 2 видно, что транзистор удовлетворительно работает до напряжения $V_{GS} = +3 \text{ В}$. Насыщенный ток стока составляет при этом $I_D^{sat} = 0.32 \text{ мА}$, а крутизна характеристики передачи

$$g_m = \frac{dI_D^{sat}}{dV_{GS}} = \frac{2I_D^{sat}}{V_{GS}} = 0.21 \frac{mA}{V}$$

То, что $V_{GS}'' > V_{bi}$, объясняется большим последовательным со- противлением нейтральной р⁺-области затвора, так что часть напряжения, приложенного к электроду затвора, падает на этой области.

Значение тока стока I_D^{sat} , рассчитанное для данной структуры по соотношению (1) при $\mu = 100 \text{ см}^2/\text{В}\cdot\text{с}$, приблизительно в 30 раз больше экспериментально наблюдаемого значения. Причина этого в том, что выражение (1) получено в предположении о полной ионизации доноров в квазинейтральной части канала, т.е. при $n = N$. Доноры (азот) в п- SiC (6Н) имеют энергию ионизации $\Delta E_D \approx 0.1 \text{ эВ}$. В результате в условиях компенсации при комнатной температуре концентрация свободных электронов в проводящей части канала значительно меньше концентрации доноров. Это подтверждается тем, что ток стока растет при нагревании за счет тепловой ионизации доноров, несмотря на уменьшение подвижности электронов.

Список литературы

- [1] Palmour J.W., Kong H.C., Davis R.F. // J. Appl. Phys. 1988. V. 64. N 4. P. 2168-2177.
- [2] Shibaahara K., Saito T., Nishino S., Matsunami H. // Extend. Abstr. of the 18th ICSSDM. Tokyo, 1986. P. 717-718.
- [3] Mueench W. // Sol. St. Electr. 1978. V. 21. N 3. P. 479-480.
- [4] Зи С. Физика полупроводниковых приборов. М.: Мир. 1984. 908 С.
- [5] Дмитриев В.А., Иванов П.А., Ильинская Н.Д., Сыркин А.Л., Царенков Б.В., Челноков В.Е., Черенков А.Е. // Письма в ЖТФ. 1988. Т. 14. № 4. С. 289-293.
- [6] Дмитриев В.А., Иванов П.А., Коркин И.В., Морозенко Я.В., Попов И.В., Сидорова Т.А., Стрельчук А.М., Челноков В.Е. // Письма в ЖТФ. 1985. Т. 11. № 4. С. 238-241.
- [7] Попов И.В., Сыркин А.Л., Челноков В.Е. // Письма в ЖТФ. 1986. Т. 12. № 4. С. 240-244.